

01;05

## О применимости классического анализа опытов с разрезным стержнем Гопкинсона

© С.Л. Лопатников, Б.А. Гама, К. Краутхаузер, Дж. Джиллесли Мл.

Центр Композиционных материалов,  
Дэлаварский Университет, Ньюарк, Дэлавар, 19716, США

Поступило в Редакцию 10 апреля 2003 г.

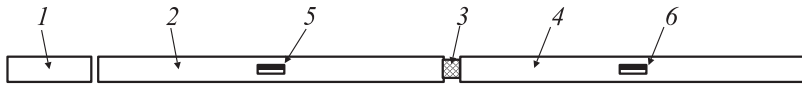
Показано, что классический метод обработки данных разрезного стержня Гопкинсона применим только к акустически „мягким“ материалам, акустический импеданс которых мал по сравнению с акустическим импедансом материала измерительных стержней. Некритическое применение классического метода к материалам с высоким акустическим импедансом, таким, например, как керамика, или к материалам с высокой вязкостью может приводить к неприемлемо большим ошибкам. Предложена физически последовательная теория обработки данных разрезного стержня Гопкинсона.

Дан критический анализ классического метода обработки данных разрезного стержня Гопкинсона — Split-Hopkinson Pressure Bar (SHPB) (рис. 1). Этот метод получения реологических данных при скоростях нагружения  $100\text{--}10^4\text{ s}^{-1}$  имеет более чем 50-летнюю историю и стал практическим стандартом реологических исследований [1–9]. Самые разнообразные материалы исследовались с помощью этого метода.

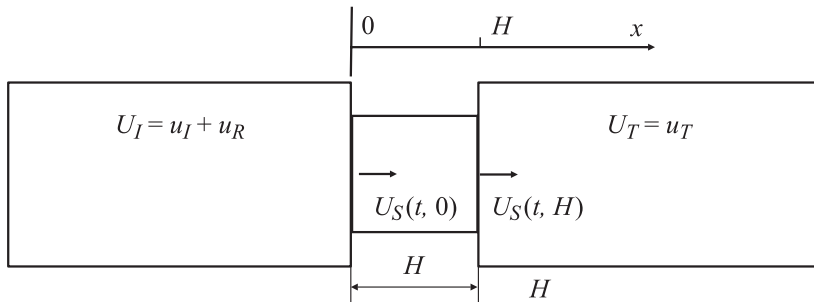
**1. Классический анализ SHPB и природа проблемы.** Классическая теория (см., например, [8]) рассматривает образец, зажатый между двумя идентичными упругими стержнями. Эффективная деформация образца  $\varepsilon_s$  может быть выражена через смещения поверхностей „образец–стержни“ (рис. 2) следующим образом:

$$\bar{\varepsilon}_s = (U_T(t) - U_I(t))/H. \quad (1)$$

В свою очередь, смещения (в силу непрерывности смещений на границах) могут быть выражены с помощью деформаций в падающей  $\varepsilon_I(t, 0)$ , отраженной  $\varepsilon_R(t, 0)$  и прошедшей  $\varepsilon_T(t, H)$  волнах, приведенных



**Рис. 1.** Схема установки Гопкинсона: 1 — ударник, 2 — входной стержень, 3 — образец, 4 — выходной стержень, 5, 6 — сенсоры.



**Рис. 2.** Граничные условия для одномерной задачи:  $U_I$  — смещение границы входной стержень–образец,  $u_I$  — смещение частиц в падающей волне на границе входной стержень–образец,  $u_R$  — смещение частиц в отраженной волне на границе входной стержень–образец,  $U_T$  — смещение границы образец–выходной стержень,  $u_T$  — смещение частиц в прошедшей волне на границе образец–входной стержень.

к поверхностям „образец–стержни“:

$$\frac{dU_I}{dt} = -c(\varepsilon_I(t, 0) - \varepsilon_R(t, 0)), \quad \frac{dU_T}{dt} = -c\varepsilon_T(t, H). \quad (2)$$

Тогда

$$\frac{d\bar{\varepsilon}(t)}{dt} = \frac{c}{H}(\varepsilon_I(t, 0) - \varepsilon_R(t, 0) - \varepsilon_T(t, H)). \quad (3)$$

Здесь  $c$  — скорость звука в материале стержней,  $H$  — толщина образца,  $U_I$  — смещение поверхности входного (incident) стержня,  $U_T$  — смещение поверхности выходного (transmitter) стержня.

С другой стороны, силы, действующие на образец, могут быть представлены следующим образом:

$$F_I = AE(\varepsilon_I(t, 0) + \varepsilon_R(t, 0)), \quad F_T = AE\varepsilon_T(t, H). \quad (4)$$

В классическом анализе предполагается, что эти силы находятся в равновесии, так что

$$F_I = F_T. \quad (5)$$

Следовательно, согласно классическому рассмотрению, используя (4), имеем

$$\varepsilon_I(t, 0) + \varepsilon_R(t, 0) - \varepsilon_T(t, H) = 0. \quad (6)$$

Исключая  $\varepsilon_T(t, H)$  с помощью уравнения (6) из (3), получаем

$$\frac{d\bar{\varepsilon}(t)}{dt} = -\frac{2c}{H} \varepsilon_R(t, 0). \quad (7)$$

Эффективное напряжение в образце определяется следующим образом:

$$\bar{\sigma} = \frac{F_I + F_T}{2A_s} = \frac{AE}{2A_s} (\varepsilon_I(t, 0) + \varepsilon_R(t, 0) + \varepsilon_T(t, H)) = \frac{AE}{A_s} \varepsilon_T(t, H). \quad (8)$$

Здесь  $A$  и  $A_s$  — площади сечения соответственно стержней и образца, а  $E$  — упругий модуль стержней, который предполагается известным. Уравнения (7) и (8) выражают эффективные деформацию и напряжения образца через акустические данные, которые могут быть измерены в стержнях и представляют собой математическую модель классического метода обработки данных.

Несмотря на кажущуюся правдоподобность приведенной логики, уравнения (7) и (8) содержат математический и физический дефекты. Чтобы прояснить природу проблемы, предположим, что равенство (5) выполняется только приблизительно и, таким образом, имеется некоторое (пусть малое) отклонение сил от равновесия  $\Delta F$ :

$$\Delta F = F_T - F_I. \quad (9)$$

Повторяя предыдущие выкладки, но учитывая наличие пусть малого, но конечного отклонения от равновесия, немедленно получаем:

$$\bar{\sigma} = \frac{F_I + F_T}{2A_s} = \frac{AE}{A_s} \left( \varepsilon_T(t, H) - \frac{\Delta F(t)}{2AE} \right), \quad (10)$$

$$\frac{d\bar{\varepsilon}(t)}{dt} = -\frac{2c}{H} \left( \varepsilon_R(t, 0) + \frac{\Delta F(t)}{2AE} \right). \quad (11)$$

Уравнение (10) эквивалентно классическому уравнению (8), если можно пренебречь величиной  $\frac{\Delta F(t)}{2AE}$  по сравнению с  $\varepsilon_T(t, H)$ ; Kolsky [5],

Gray III [8] и Ravichandran и Subhash [10] обсуждали это условие. Однако уравнение (11) становится эквивалентным классическому уравнению (7), только если условие  $|\varepsilon_{R(t,0)}| \gg \left| \frac{\Delta F(t)}{2AE} \right|$  также выполняется. Таким образом, наша главная цель теперь — найти величину  $\frac{\Delta F(t)}{AE}$  и сравнить ее с  $\varepsilon_R(t, 0)$ .

**2. Одномерная модель распространения волн в SHPB.** Для простоты обсудим только случай произвольного линейного образца. Этот случай перекрывает, однако, широкий спектр материалов, таких как линейно-упругие материалы, вязкие материалы, материалы с регулярной и сингулярной памятью [11–17] и т.д. Следуя классическому рассмотрению, обратимся к одномерной модели SHPB. В этом случае естественно использовать разложение полей в стержнях и образце по гармоникам. Мы будем при анализе использовать положительный знак в экспоненциальном факторе  $i\omega t$ . Граничные условия между образцом и стержнями могут быть представлены в виде

$$\begin{aligned} x = 0 : & \left\{ \begin{aligned} u_I(t, 0) + u_R(t, 0) &= u_S(t, 0) \\ A(\sigma_I(t, 0) + \sigma_R(t, 0)) &= A_S \sigma_S(t, 0) \end{aligned} \right\} \\ x = H : & \left\{ \begin{aligned} u_S(t, H) &= u_T(t, H) \\ A_S \sigma_S(t, H) &= A \sigma_T(t, H) \end{aligned} \right\}. \end{aligned} \quad (12)$$

После довольно громоздких, но простых вычислений, по сути повторяющих рассмотрение распространения волн в трехслойной системе, которое можно найти, например в [17] (в этой монографии Л. Бреховских использует обратный знак в экспоненциальном факторе  $(-i\omega t)$ , что приводит к обратному знаку коэффициента отражения) средние напряжение и деформации образца могут быть представлены в следующем виде:

$$\bar{\sigma}(\omega) = \frac{1}{2} \frac{A}{A_S} \frac{(1 - r^2) + (1 - r^2 f^-) e^{i\omega \tau_s} - r(f^- - 1) e^{i\omega \tau_s}}{(1 - r^2)} \sigma_T(\omega, H), \quad (13)$$

$$\bar{\varepsilon}(\omega) = -\frac{c}{H} \left( \frac{(1 - r^2) e^{-i\omega \tau_s} - r(f^- - 1) - 1 + r^2 f^-}{r(f^- - 1)} \right) \frac{\varepsilon_R(\omega, 0)}{i\omega}, \quad (14)$$

где

$$f^-(\omega) = e^{-2i\omega \tau_s}; \quad \tau_s = \frac{H}{c_s(\omega)}; \quad \tau = \frac{H}{c}; \quad r(\omega) = \frac{A_s \rho_s c_s(\omega) - A \rho c}{A_s \rho_s c_s(\omega) + A \rho c}. \quad (15)$$

Величина  $r(\omega)$  — это обычный коэффициент отражения от границы стержень–образец. В общем случае „скорость волн“ может быть комплексной величиной.

**3. Квазистатическое приближение.** Фронты распространяющихся импульсов нагрузки обычно размазаны геометрической и/или физической дисперсией волн в стержнях. В результате характерное время нагружения обычно заметно больше, чем время прохождения сигнала через образец,  $\tau_s(\omega)$ . Тогда для наших целей можно использовать только низкочастотную асимптотику точных выражений (13), (14). Мы будем именовать эту асимптотику „квазистатическим приближением“.

Разлагая  $f^-(\omega)$  и  $e^{\pm i\omega\tau_s}$  в ряды по степеням  $\omega\tau_s$  и подставляя результат в уравнения (13) и (14), сохраняя только первые не исчезающие члены и возвращаясь назад от частотного к временному представлению, имеем:

$$\bar{\sigma}(\omega) \approx \frac{A}{A_s} \sigma_T(\omega, H), \quad \frac{d\bar{\varepsilon}(t)}{dt} \approx -\frac{2c}{H} (1 + \hat{K}_\varepsilon^{(0)}) \varepsilon_R(t, 0), \quad (16a,b)$$

где

$$\begin{aligned} \hat{K}_\varepsilon^{(0)} &\equiv -\mathbf{F}^{-1} \left( 1 + \frac{(1 - r(\omega))^2}{4r(\omega)} \right) \\ &= -\mathbf{F}^{-1} \left( 1 + \frac{1}{\gamma^2(\omega) - 1} \right) = -\mathbf{F}^{-1} \left( \frac{\gamma^2(\omega)}{\gamma^2(\omega) - 1} \right). \end{aligned} \quad (17)$$

Здесь  $\mathbf{F}^{-1}$  — обратное преобразование Фурье и  $\gamma(\omega) \equiv \frac{A_s \rho_s c_s(\omega)}{A \rho c}$  — отношение полных импедансов образца и стержней. Обратим внимание на то, что в частном случае линейно-упругого образца оператор  $\hat{K}_\varepsilon^{(0)}$  есть просто умножение на число, так как в этом случае  $\gamma$  не зависит от частоты и, как нетрудно видеть, ядро оператора  $\hat{K}_\varepsilon^{(0)}$  есть дельта-функция Дирака.

Уравнение (16a) для среднего напряжения полностью идентично соответствующему классическому уравнению (8). Однако уравнение (16b) для средней деформации существенно отличается от уравнения (7). Оно содержит дополнительный операторный множитель  $(1 + \hat{K}_\varepsilon^{(0)})$ . Очевидно, что классическое уравнение (7) для эффективной деформации справедливо только, если оператор  $\hat{K}_\varepsilon^{(0)}$  мал и, следовательно, согласно уравнению (17), только если импеданс образца мал по сравнению с импедансом стержней.

Нетрудно проверить, что уравнение (9) может быть представлено в квазистатическом приближении как:

$$\varepsilon_I(t, 0) + \varepsilon_R(t, 0) - \varepsilon_T(t, H) = \hat{K}_\varepsilon^{(0)} \cdot \varepsilon_R(t, 0). \quad (18)$$

Сопоставление уравнений (18) и (6) полностью проясняет природу математической ошибки классического анализа стержня Гопкинсона, представленного во многих учебниках и статьях. При классическом подходе пренебрегается членом  $\hat{K}_\varepsilon^{(0)} \varepsilon_R(t, 0)$ , который в общем случае имеет тот же порядок величины, что и оставленный член  $\varepsilon_R(t, 0)$ . На деле, если предполагать, что силовое равновесие существует в форме уравнения (5), необходимо с той же точностью полагать, что в уравнении (6)  $\varepsilon_R(t, 0) = 0$ ! Это утверждение имеет ясный физический смысл: тело в состоянии полного равновесия не может производить работу и, в частности, генерировать отраженный сигнал.

**4. Сравнение с классическим методом для линейно-упругого образца.** Рассматривая частный случай линейно-упругого образца, можно определить эффективный упругий модуль материала следующим образом:

$$E_s = \frac{\bar{\sigma}}{\bar{\varepsilon}} = -(1 - \gamma^2) \frac{A}{A_s} E \frac{\varepsilon_T(t, H)}{\frac{2c}{H} \int_0^t \varepsilon_R(t, 0) dt} = (1 - \gamma^2) E_s^{(cl)}, \quad (19)$$

где

$$E_s^{(cl)} = -\frac{A}{A_s} E \frac{\varepsilon_T(t, H)}{\frac{2c}{H} \int_0^t \varepsilon_R(t, 0) dt} \quad (20)$$

— эффективный модуль, определенный с помощью классических выражений (7) и (8). Рассмотрим случай стальных стержней ( $c \sim 5.13$  km/s,  $\rho \sim 7.85$  g/cm<sup>3</sup>) и керамического образца ( $c \sim 9.74$  km/s,  $\rho \sim 3.90$  g/cm<sup>3</sup>) равного диаметра. В этом случае  $\gamma = \frac{\rho_s c_s}{\rho c} = 1.061$ . Тогда эффективная деформация образца равна  $\bar{\varepsilon} = 8.98 \bar{\varepsilon}_{cl}$ , что почти в девять раз (!) больше, чем предсказывается классическим методом. Соответственно эффективный упругий модуль, рассчитанный классическим методом, будет почти в девять раз больше, чем модуль, рассчитанный по представленному методу. Формально можно произвольно уменьшить импеданс образца, используя образцы

достаточно малого размера. Однако эта возможность сильно ограничена из-за возникновения паразитных отражений от ненагруженной части поверхности стержней. Практически площадь образца не может быть сделана меньше 0.6–0.7 площади сечения баров. Детальное обсуждение этого факта может быть найдено в [8], а теоретический анализ влияния отклонений от одномерной модели — в [18].

В принципе, из (20) можно немедленно убедиться, что классический метод приводит в некоторых случаях к физически абсурдным результатам. Так, например, в соответствии с (20) этот метод предсказывает бесконечный модуль для образца (того же диаметра), выполненного из того же материала, что и стержни (в этом случае  $\varepsilon_T(t, H) \neq 0$ ,  $\varepsilon_R(t, H) \equiv 0$ ), и даже отрицательный модуль для образцов, акустически более жестких, чем стержни (в этом случае для падающего импульса сжатия  $\varepsilon_T(t, H) < 0$ ,  $\int_0^t \varepsilon_R(t, H) dt < 0$ ). В то же время наше выражение (19) предсказывает правильный знак во всех случаях, поскольку величина  $(1 - \gamma^2)$  меняет знак для жестких образцов и влечет к неопределенному (0/0) выражению, если  $\gamma = 1$ . В последнем случае это неопределенное выражение может быть легко вычислено с помощью правила Лопиталья и дает в пределе  $\gamma \rightarrow 1$  и  $\rho_s = \rho$  правильный результат:  $E_s = E$  (в этом можно немедленно убедиться, к примеру, с помощью уравнения (21) следующего раздела, поскольку в этом случае  $\varepsilon_R(\omega, 0) \rightarrow 0$  и величина  $\xi(\omega)$  стремится к бесконечности).

**5. Обработка данных SHPB в общем случае.** В общем случае реологическое уравнение для линейных материалов имеет вид  $\bar{\sigma}(t) = \hat{E}_s \cdot \bar{\varepsilon}(t)$ , где  $\hat{E}_s$  — некоторый линейный (интегродифференциальный) оператор. В частотном представлении этот оператор может быть представлен как  $\hat{E}(\omega) = \frac{\bar{\sigma}(\omega)}{\bar{\varepsilon}(\omega)}$ . Используя уравнение (19) и учитывая, что  $\gamma(\omega) = \frac{\sqrt{\rho_s E_s(\omega)}}{\sqrt{\rho E}}$ , во временном представлении можно найти операторный модуль среды:

$$\hat{E}_s = -\mathbf{F}^{-1} \left( \frac{i\omega\tau \frac{A}{2A_s} \xi(\omega)}{\left(1 - i\omega\tau \frac{A}{2A_s} \frac{\rho_s}{\rho E} \xi(\omega)\right)} \right), \quad \xi(\omega) = \frac{\sigma_T(\omega, H)}{\varepsilon_R(\omega, 0)}. \quad (21)$$

Однако поскольку Фурье-спектры измеряемых величин  $\sigma_T(\omega, H)$  и  $\varepsilon_R(\omega, 0)$  ограничены в частотной области, величина  $\xi(\omega)$  плохо определена в области высоких частот и для практических применений необходимо использовать некоторые регуляризирующие процедуры.

**б. Заключение.** Мы показали, что классический метод обработки данных разрезного стержня Гопкинсона содержит существенные дефекты и в результате может применяться только к исследованию реологических свойств материалов с акустическим импедансом, существенно более низким, чем акустический импеданс материала стержней. Мы предложили также универсальную процедуру обработки данных разрезного стержня Гопкинсона.

## Список литературы

- [1] *Davies R.M.* // Philosophical Transactions of the Royal Society of London A. 1948. V. 240 (821). P. 375–457.
- [2] *Kolsky H.* // Proc. Phys. Soc. Lond. 1949. V. 62 (II-B). P. 676–700.
- [3] *Harding J., Wood E.D., Campbell J.D.* // J. Mech. Eng. Sci. 1960. V. 2. P. 88–96.
- [4] *Lindholm U.S., Yeakley L.M.* // Exp. Mech. 1968. V. 8. P. 1–9.
- [5] *Nemat-Nasser Sia, Issacs J.B., Starrett J.E.* // Proc. R. Soc. Lond. A. 1991. V. 453. P. 371–391.
- [6] *Meyers M.A.* Dynamic Behavior of Materials. New York: John Wiley & Sons, Inc., 1994. P. 54–59, 81–82, 305–310.
- [7] *Bragov A.M., Lumonov A.K.* // Int. J. Imp. Eng. 1995. V. 16 (2). P. 321–330.
- [8] *Gray III, G.T.* // ASM. Handbook. V. 8. Materials Park: ASM International, 2000. P. 462–476.
- [9] *Albertini C., Montagnani M.* // Journal De Physique. 1994. V. 4 (8). P. C8–113–C8–118.
- [10] *Ravichandran G., Subhash G.* // J. Am. Ceram. Soc. 1994. V. 77. P. 263–267.
- [11] *Fabrizio M., Moro A.* Mathematical Problems in Linear Viscoelasticity. Philadelphia: SIAM, 1992.
- [12] *Hanyga A.* // Mathematics and Computer Modelling. 2001. V. 34. P. 1399–1421.
- [13] *Giona M., Gerbelly S., Roman H.E.* // Physica A. 1992. V. 191. P. 449–453.
- [14] *Лопатников С., Гуревич Б.* // ДАН СССР. 1985. Т. 281 (2). С. 47–50 (USSR Academy of Science Reports (Doklady Akademii nauk SSSR); 1985. V. 281 (2). P. 47–50).
- [15] *Hanyga A., Rock V.* // J. Acoust. Soc. Am. 2000. V. 107 (6). P. 2965–2972.
- [16] *Gurevich B., Lopatnikov S.* // Geoph. J. Int. 1995. V. 121 (3). P. 933–947.
- [17] *Бреховских Л.М.* Волны в слоистых средах. М.: Наука, 1973. Brekhovskikh L.M. Acoustics of layered media I: plane and quasi-plane waves. Springer series on wave phenomena. Berlin, New York: Springer, 1998.
- [18] *Samsonov A.M.* Strain solitons in solids and how to construct them. Chapman & Hall/CRC, 2001.